

从迟缓爱德华氏菌 fosmid 文库克隆编码寡肽透过酶的 *opp* 基因簇

杨佳银^{1, 2}, 莫照兰¹, 茅云翔³, 李 杰³, 叶旭红³, 王 波^{1, 2}

(1. 中国科学院 海洋研究所 实验海洋生物学重点实验室, 山东 青岛 266071; 2. 中国科学院 研究生院, 北京 100039; 3. 中国海洋大学 海洋生命学院, 山东 青岛 266003)

摘要: 从迟缓爱德华氏菌 (*Edwardsiella tarda*) LSE40 fosmid 文库克隆到编码寡肽透过酶的 *opp* 基因簇。该基因簇全长 6 741 bp, 含有 5 个ORF, 依次编码 OppA-B-G-D-F 5 个蛋白; 位于 *opp A* 翻译起始位点上游 385 bp 处有一个推测的转录起始位点, 在该转录起点的 -35 和 -10 区分别有 TAGACA 和 TATATT 两个特征性启动子序列; 位于 *opp A* 和 *opp B* 的间隔区和 *opp F* 之后的非编码区各有 1 个茎环结构, 推测分别为 *opp A* 和 *opp* 基因簇的转录终止子。氨基酸序列分析表明该基因簇编码的各个蛋白与同属细菌 鮣鱼爱德华氏菌 (*E. ictaluri*) 对应的各个蛋白高度相似, 相似性在 96%~98%; 与其他革兰氏阴性菌相似性在 56%~89%; 与革兰氏阳性菌的相似性在 27%~53%。以细菌 OppA 的保守结构域 SBP_bac_5 构建系统发生树, 结果显示 *E. tarda* LSE40 与同属细菌 *E. ictaluri* 的亲缘关系最近, 与肠杆菌科细菌的亲缘关系较近, 与革兰氏阳性细菌的亲缘关系较远, 表明 *opp A* 的 SBP_bac_5 结构域可作为细菌分类鉴定的依据。*opp* 基因簇的获取为深入了解 *E. tarda* 适应环境和宿主的生存机制奠定了基础。

关键词: 迟缓爱德华氏菌 (*Edwardsiella tarda*); fosmid 文库; *opp* 基因簇

中图分类号: S941.42

文献标识码: A

文章编号: 1000-3096(2008)11-0013-07

细菌的寡肽透过酶 (Oligopeptide permease, Opp) 输送系统负责从环境中摄取和运送寡肽营养物质进入细菌细胞内^[1]。*opp* 基因簇由 *opp A*, *opp B*, *opp C*, *opp D* 和 *opp F* 5 个基因组成, 其编码产物形成跨膜通道, 主要负责输送 3~5 个氨基酸的小肽, 属于 ABC 输送器 (ATP binding cassette transporter) 家族, 在革兰氏阳性菌和阴性菌中均有发现^[1]。*Opp* 不仅为细菌生长提供碳源和氮源^[2], 而且参与基因表达、趋化性、孢子形成、接合介导的 DNA 转移、感受态发生、密度感应系统和细菌毒力等方面的调控^[3~7]。

迟缓爱德华氏菌 (*Edwardsiella tarda*) 可以感染鱼类、两栖类、爬行类和包括人在内的哺乳动物^[8]。由 *E. tarda* 引起的爱德华氏菌病是养殖鱼类的重要疾病, 对我国的牙鲆 (*Paralichthys olivaceus*) 和大菱鲆 (*Scophthalmus maximus*) 养殖构成严重危害^[8]。已经报道很多毒力因子参与了 *E. tarda* 的致病作用, 如, *E. tarda* 具有黏附、侵入上皮细胞并在上皮细胞繁殖的能力^[9], 抵御宿主血清和巨噬细胞介导的杀伤能力^[10], 产生溶血素和过氧化氢酶等胞外毒素的能力^[11, 12]。最近, 有报道认为 III型分泌系统和 VI型分泌系统也参与了 *E. tarda* 的致病作用^[13, 14]。一般情况下, *E. tarda* 可以生活在寡营养的海水和淡水环境, 在适宜的条件下侵入宿主并在

宿主体内生存。因此, 了解 *E. tarda* 的营养输送机制, 对揭示该菌在水环境中的生存机制具有重要的意义, 也有助于了解该菌的致病机制。目前, *E. tarda* Opp 输送系统的研究尚未见报道。作者报道了从 *E. tarda* fosmid 文库克隆 *opp* 基因簇的工作, 为进一步研究 *E. tarda* 的寡肽营养摄取机制奠定了基础。

1 材料与方法

1.1 菌株与质粒

E. tarda LSE40 由本实验室从发病大菱鲆中分离和保存, 用胰大豆蛋白胨肉汤 (TSB) 28℃振荡培养。Fosmid 文库末端测序由杭州华大基因研究中心完成, 其他测序由上海博尚完成。

1.2 Fosmid 文库构建

Fosmid 文库构建按照 CopyControl™ Fosmid

收稿日期: 2008-03-20; 修回日期: 2008-04-28

基金项目: 国家高技术研究发展计划项目 (2006AA100310); 国家重点基础研究发展计划项目 (2006CB101803); 国家海洋局 908 专项项目 (90801ZH3); 国家自然科学基金项目 (30671613)

作者简介: 杨佳银 (1982), 男, 河南虞城人, 硕士, 从事海洋微生物与水产动物病害研究, E-mail: yangjiayin@gmail.com; 莫照兰, 通讯作者, 电话: 0532-82898561, E-mail: zhlm0@m.s.qdio.ac.cn

Library Production Kit(Epicentre)进行。具体步骤为:E. tarda LSE40置于TSB培养基28℃过夜振荡培养,CTAB/NaCl法提取细菌基因组DNA^[15],脉冲场电泳分离,回收48.5~63.5 kb片段DNA,按照试剂盒方法进行末端修饰、连接、包装和筛选。获得文库递交杭州华大基因研究中心进行末端测序。

1.3 opp 基因簇克隆

E. tarda 与同属细菌鮰鱼爱德华氏菌(*Edwardsiella ictaluri*)基因组序列相似性很高,而*E. ictaluri*的全基因组序列测定正在进行(http://micro-gen.ouhsc.edu/e_ictal/e_ictal_home.htm)。通过与*E. ictaluri*基因组初步组装序列(2007年10月5日数据)进行比对,发现从*E. tarda* fosmid文库得到的序列070802-4p和2个fosmid克隆(p16-G09

和p5-D08)可以定位到*E. ictaluri* contig 76上(图1)。根据*E. ictaluri* contig 76的限制性酶切位点信息,以SacI和BamHI消化p16-G09质粒DNA,回收1.8 kb左右的片段连接至pUCm-T(上海生工)进行序列测定。根据所得序列和070802-4p设计引物oppAB-F(5'-GAA CT GA CCG AT GT G AAC CGC-3')和oppAB-R(5'-GCG GT GCG GAT AA AGT-TAG AGT-3')扩增oppAB的部分序列,根据p5-D08和p16-G09的末段序列设计引物oppDF-F(5'-CGGT AAG GT GG ACT CGGT GAT-3')和oppDF-R(5'-GCG AAG CGG GT ATT GAG G-3')扩增oppC-DF的部分序列,所得PCR产物连接到pUCm-T进行序列测定。将得到的序列进行比对、拼接,得到*E. tarda*的opp基因簇。

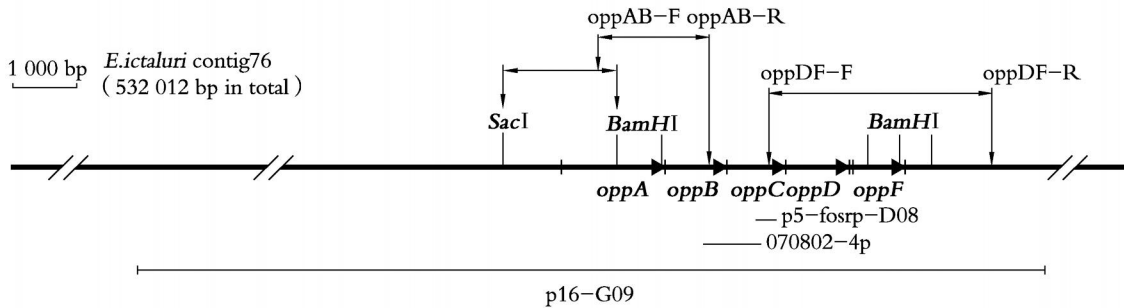


图1 opp 基因簇全长克隆策略

Fig. 1 Cloning strategy of opp gene cluster

E. tarda LSE40 070802-4p 及 fosmid 克隆 p16-G09、p5-D08 定位于 *E. ictaluri* contig76(简称 contig76) 的物理图谱。Contig76 全长 532 012 bp, oppA-F 为预测的 *E. ictaluri* opp 基因簇位置; SacI, BamHI 均为 contig76 上的酶切位点; oppAB-F/R, oppDF-F/R 均为对应位置的引物名称。Physical mapping of sequence of 070802-4p and the fosmid clone p16-G09 and p5-D08 of *E. tarda* LSE40 on the *E. ictaluri* contig76 (ab-contig76). Contig76 has a total length of 532 012 bp, oppA-F shows the predicted position of opp gene cluster of *E. ictaluri* in contig76; Both SacI and BamHI indicate the restriction enzyme sites on contig76; oppAB-F/R and oppDF-F/R are primers indicated in the corresponding positions.

1.4 生物信息学分析

核酸及氨基酸序列比对采用 BLAST (<http://www.ncbi.nlm.nih.gov/BLAST/>; <http://blast.genome.jp/>); ORF 确定采用 ORF Finder (<http://www.ncbi.nlm.nih.gov/gorf/orfig.cgi>); 蛋白预测及氨基酸组成分析采用 BioEdit (<http://www.mbio.ncsu.edu/BioEdit/bioedit.html>); 核酸二级结构预测采用 Oligo6 (<http://www.oligo.net/oligo.htm>); 蛋白质结构功能域分析采用 Motif Scan (http://myhits.isb-sib.ch/cgi-bin/motif_scan); 蛋白质跨膜预测采用 SMART (<http://smart.embl-heidelberg.de/>) 和 TMHMM (<http://www.cbs.dtu.dk/services/TMHMM/>); 启动子预测采用 BDGP (http://www.fruitfly.org/seq_tools/promoter.html); 系统

进化分析由 Clustalx 和 MEGA 4.0 (www.megasoftware.net) 完成。

2 结果及讨论

2.1 opp 基因簇克隆

从 *E. tarda* fosmid 文库得到 925 bp 的序列 070802-4p, 经 Blast 发现与克雷白氏肺炎菌(*Klebsiella pneumoniae*)和变形斑沙雷菌(*Serratia proteamaculans*)的 oppB 和 oppC 相似性很高, 由此以 070802-4p 作为定位 opp 基因簇的标签。与已经公布的 *E. ictaluri* contigs 核酸序列进行比对, 发现 070802-4p 定位在 *E. ictaluri* contig76 上。进一步以 *E. ictaluri* contig76 的序列为标签, 发现 *E. tarda* LSE40 fosmid 克隆 p16-G09 和 p5-D08 也可以定位在 *E. ictaluri* contig76 上。根据上述分析结果, 得到

E. tarda LSE40 fosmid 克隆对应于 *E. ictaluri* contig76 的物理图谱(图 1)。推测 p16-G09 克隆含有 *E. tarda* LSE40 的 *opp* 基因簇序列, 070802-4p 含有 *oppB-C* 部分序列, 而 p5fosrp_D08(*p5D08* 的末端序列)含有部分 *oppC* 序列。

为了获得 *opp* 基因簇全序列, 作者设计了如下实验: 首先以 *p5D08* 和 *p16-G09* 的末段序列为上下游序列, 设计引物对 *oppDF-F* 和 *oppDF-R* 进行 PCR, 得到 3.82 kb 的 DNA 片段, 测序证明该片段含有 *oppD* 和 *oppF* 的全基因序列以及 *oppC* 3' 端的 520 bp 序列。然后根据 *E. ictaluri* contigs 76 的限制性酶切位点信息, *SacI* 和 *BamHI* 消化的 1.8 kb 左右的 DNA 片段含有包括起始密码子 ATG 在内的 *oppA* 的部分序列。因此, 以 *SacI* 和 *BamHI* 消化 *p16-G09* 克隆的质粒 DNA, 回收目的 DNA 片段并测序, 序列测定和比对分析证实所得片段含有 *oppA* 5' 端的 884 bp 序列。最后根据所得到的 *oppA* 的部分序列以及 070802-4p 的序列, 设计引物 *oppAB-F* 和 *oppAB-R* 进行 PCR, 得到 1574 bp 的序列, 该序列包括了 *oppA* 3' 端的 870 bp 和 *oppB* 5' 端的 626 bp 序列。将上述获得的片段序列进行比对、

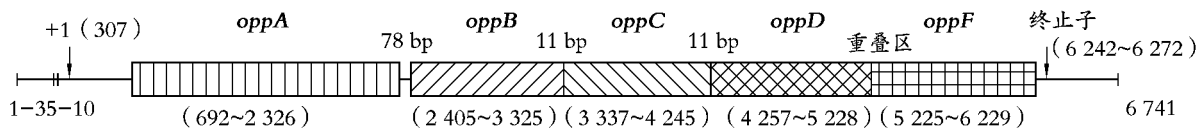


图 2 *E. tarda* LSE40 *opp* 基因簇遗传结构

Fig. 2 Genetic organization of the *opp* gene cluster of *E. tarda*

opp 基因簇全长 6 741 bp, 图示转录起始位点(+1)、-10 区、-35 区、*oppA-F*、终止子(Terminator)及 *opp* 各基因间隔区。The *opp* gene cluster has a total length of 6 741 bp. Fig. 2 shows the transcriptional start site, possible promoters (-10 and -35), *oppA-F* and terminator of *opp*, as well as the spacer regions between the adjacent genes of *opp*

OppA 为底物结合蛋白, 负责捕获寡肽或作为细胞膜表面受体, 在革兰氏阳性菌和革兰氏阴性菌细胞中的位置不同。革兰氏阳性菌的 OppA 一般通过 N 末端锚定在细菌细胞膜中, 而革兰氏阴性菌的 OppA 一般位于细胞周质^[1]。*E. tarda* LSE40 的 OppA 由 544 个氨基酸组成, 预测分子质量大小为 61.3 ku。与 *E. ictaluri* OppA 有 96% 的相似性, 与 *S. typhimurium* 和 *E. coli* 的 OppA 分别有 73% 和 71% 的相似性(表 1)。Motif Scan 发现 OppA 在 82-465aa 具有高度保守的 SBP_bac_5 (Bacterial extracellular solute-binding proteins, family 5 Middle, PF00496) 结构域, 该结构域在其他革兰氏阴性菌的 OppA 中普遍存在。SBP_bac_5 结合二肽和寡肽类溶质并通过与某些膜整合蛋白作用转运它们^[18], 是 ABC 输送器结合蛋白的一般特征。

拼接, 获得了 *E. tarda* LSE40 的 *opp* 基因簇序列 *oppA BCDF*, Genbank 登录号 EU414840。

2.2 *opp* 基因簇序列分析

作者从 *E. tarda* LSE40 基因组得到序列长度为 8 001 bp 的核酸片段, 该片段包括了 *opp* 基因簇的 6 741 bp(图 2), 以及基因簇的 5' 端旁侧序列 194 bp 和 3' 端旁侧序列 1 066 bp。*E. tarda* LSE40 *opp* 基因簇含有 5 个 ORF, 依次编码 OppA-B-C-D-F(图 2), 基因排列顺序与鼠伤寒沙门菌(*Salmonella typhimurium*)、河流弧菌(*Vibrio f luwalis*)、单核细胞增生李斯特菌(*Listeria monocytogenes*)等菌一致^[16, 17]。氨基酸序列分析表明该基因簇编码的各个蛋白与 *E. ictaluri* 高度相似, 相似性在 96%~98%; 与其他种属的革兰氏阴性菌也具有较高的相似性, 比如与 *Escherichia coli* 的相似性在 71%~89%; 而与革兰氏阳性菌的相似性较低, 比如与变异链球菌(*Streptococcus mutans*)的相似性在 27%~53%(表 1)。同为输送器结构组分, OppD 和 OppF 的保守性要比 OppB 和 OppC 高。

E. tarda LSE40 OppB 和 OppC 分别由 306 和 302 个氨基酸组成, 与 *E. ictaluri* 的相似性均为 98%, 与 *E. coli* 和 *S. typhimurium* 的相似性分别为 89% 和 74%, 87% 和 73% (表 1)。TMHMM 和 SMART 预测 OppB 和 OppC 均为六次跨膜蛋白且 N 末端和 C 末端位于细胞膜内。Motif Scan 发现 OppB(94-306aa) 和 OppC(101-302aa) 都具有 BPD_transp_1(Binding protein-dependent transport system inner membrane component, PF00528) 结构域, 该结构域是某些膜整合蛋白的保守结构域, 其功能是转运底物通过细胞膜。在 *S. typhimurium* 和 *E. coli* 中, OppB 和 OppC 共同形成寡肽运输通道^[19]。

E. tarda LSE40 OppD 和 OppF 分别由 323 和 334 个氨基酸组成, 彼此之间有 41% 的相似性, 在 *V. f luwalis* 中也有类似特征^[16]。OppD 的 42~

49aa 和 155~169aa, OppF 的 57~64aa 和 165~179aa 分别具有 ABC 输送器成员特征性的 ATP 酶结构域, 具有该结构域的蛋白一般具有 ATP 酶活性, 水解 ATP 提供能量。另外, OppD 和 OppF 分别

在 234~298aa 和 244~311aa 具有 oligo_HPY (Oligopeptide/dipeptide transporter, C-terminal region, PF08352) 结构域, 该保守区域为 ABC 输送器成员的特征区域^[7]。

表 1 Opp 氨基酸组成及相似性比较

Tab. 1 Amino acid composition and identity percentages of Opp between various bacteria

菌株	氨基酸序列(相似性, %)				
	OppA	OppB	OppC	OppD	OppF
<i>E. tarda</i>	544aa	306aa	302aa	323aa	334aa
<i>E. ictaluri</i>	544aa (96%)	306aa (98%)	302aa (98%)	324aa (97%)	334aa (97%)
<i>E. coli</i>	543aa (71%)	306aa (89%)	302aa (74%)	337aa (87%)	334aa (85%)
<i>S. typhimurium</i>	543aa (73%)	306aa (87%)	302aa (73%)	335aa (87%)	334aa (87%)
<i>V. fluvialis</i>	543aa (56%)	306aa (66%)	300aa (69%)	324aa (78%)	306aa (73%)
<i>S. mutans</i>	549aa (27%)	304aa (37%)	343aa (34%)	350aa (48%)	308aa (53%)
<i>S. aureus</i>	551aa (29%)	308aa (44%)	356aa (29%)	360aa (51%)	326aa (49%)

序列来源(Genbank 登录号): *E. coli*, NC_000913(genome); *S. typhimurium* NC_003197(genome); *V. fluvialis* OppA-F, AAT84261~AAT84265; *S. mutans*, NC_004350(genome); *S. aureus*, NC_007793(genome); *E. ictaluri* Opp 氨基酸序列由 contig76 中 oppABCDF 核酸序列翻译得来

Genbank accession number of related sequences: *E. coli*, NC_000913(genome); *S. typhimurium* NC_003197(genome); *V. fluvialis* OppA-F, AAT84261~AAT84265; *S. mutans*, NC_004350(genome); *S. aureus*, NC_007793(genome); the amino acid sequences of Opp of *E. ictaluri* were translated from oppABCDF of contig76

2.3 opp 基因簇非编码区

以 BDGP 对 *E. tarda* LSE40 的 opp 基因簇进行启动子预测, 得到转录起点位于 oppA 翻译起始密码子 ATG 上游 385 bp 处, 在该转录起点的 -35 和 -10 区分别有 TAGACA 和 TATAATT 两个特征性启动子序列(图 3), 推测的核糖体结合位点(SD 序

列)位于 oppA 上游 10 bp 处。作者根据序列推测的启动子是否真正为 opp 基因簇的启动子需验证。*V. fluvialis* opp 基因簇的转录起始位点位于 oppA 翻译起始位点上游的 331 bp 处^[6], 与本实验结果基本吻合。

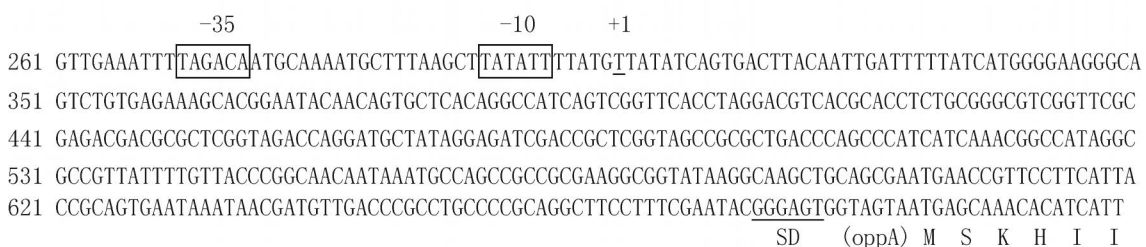


图 3 *E. tarda* LSE40 opp 启动子预测

Fig. 3 Promoter prediction of opp operon of *E. tarda* LSE40

E. tarda LSE40 的 oppA 和 oppB 之间有 78 bp 的间隔区。oppA 终止密码子后 12~34 bp 处, 长度为 23 bp 的序列可以形成茎环结构(-64.9 kJ/mol)。在 *L. monocytogenes*^[17], 化脓链球菌(*Streptococcus pyogenes*)^[20] 的 oppA 终止密码子后也存在类似的茎环结构。第二处茎环结构(-92.5 kJ/mol)位于

oppF 终止密码子后 13~42 bp, 该茎环结构与其他细菌 opp 基因簇转录的终止子一致^[17]。在 *L. monocytogenes*, *S. typhimurium* 和 *S. pyogenes* 中, 已经发现 oppABCDF 基因簇的基因以操纵子方式一起进行转录, 但是 oppA 也可以单独转录, 并且单独转录方式占主要地位^[17, 20]。或许通过这种方式

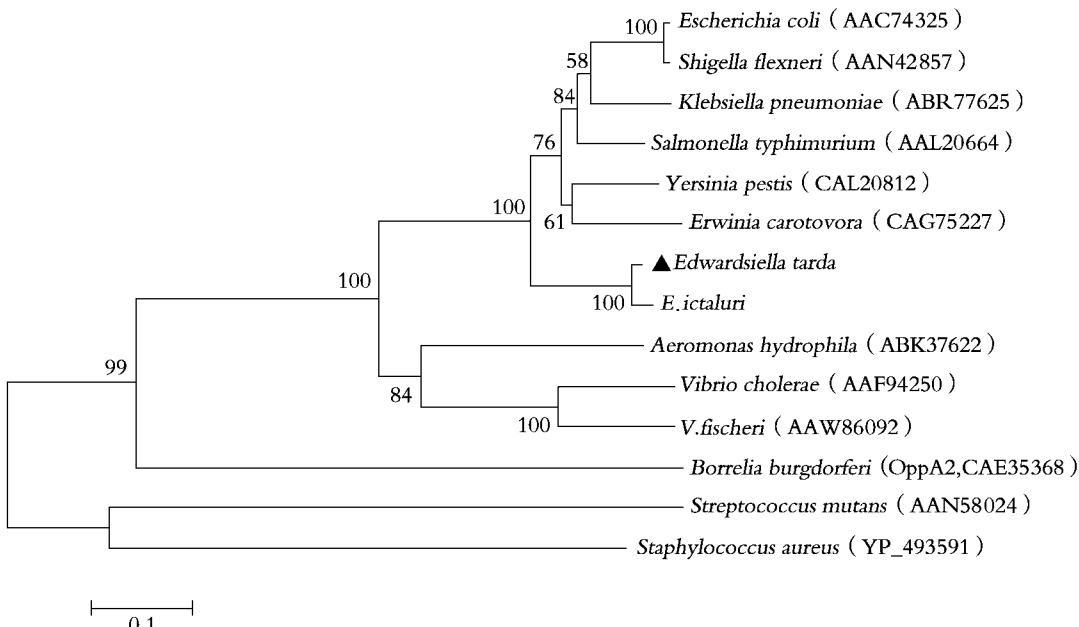
可以提高 OppA 丰度满足细菌的需要, 有实验证实当培养基营养丰富时, OppA 表达明显增加^[21]。因此作者分析, 和上述细菌一样, 在 *E. tarda* LSE40 *opp* 基因簇发现的第一茎环结构可能是 *oppA* 单独转录的终止子, 而第二茎环结构则是 *opp* 基因簇的转录终止子。

oppB 和 *oppC*, *oppC* 和 *oppD* 之间的间隔区均为 11 bp, *oppD* 和 *oppF* 之间有 4 个碱基的重叠(图 2), 这些结构特征和其他菌如 *S. typhimurium*, *L. monocytogenes* 等基本一致^[17]。

2.4 基于 OppA 保守结构域的进化地位分析

已经报道细菌有 3 种肽输送系统, 分别为二肽透过酶(Dpp)、三肽透过酶(Tpp)和寡肽透过酶(OpP)系统^[16]。在 *E. coli* 和 *S. typhimurium* 中 Dpp 和 OpP 的基因序列和功能高度相似, 均由一个肽结合蛋白(DppA 或 OpP)、两个穿膜蛋白(DppB-C 或 OpP-B-C)、两个 ATP 结合蛋白(DppD-F 或 OpP-D-F)组成^[1]。DppA 主要结合 2 个氨基酸的小肽, 而 OpP 可以结合 3~5 个氨基酸的小肽。目前, 在

革兰氏阴性细菌只发现一个拷贝的 OppA, 而在一些革兰氏阳性细菌, 发现了 2~5 种拷贝的 OppA^[2, 21]和一套以上的 Opp 系统^[22]。OppA 直系同源(orthologue)蛋白具有保守的 SBP_bac_5 结构域, 但在不同种属细菌中又具有一定程度的变化, 因此可以用来分析细菌的进化地位。为了确定 *E. tarda* LSE40 OppA 的进化地位, 作者从 GenBank 获取了 13 种细菌的 OppA SBP_bac_5 结构域序列。以 Mega4.0 软件进行聚类, 用 Neighbor-Joining 方法构建系统发生树。如图 4 显示, 系统发生树明显分为革兰氏阳性菌和革兰氏阴性菌两个分支。在革兰氏阴性菌分支中, *E. tarda* LSE40 首先与 *E. ictaluri* 聚类, 然后依次与其他肠杆菌、弧菌、螺旋体聚类。从结果可以看出, *E. tarda* 和 *E. ictaluri* 的亲缘关系最近, 该结果与两者的 *opp* 基因簇序列高度相似的结果一致。因此, 作者认为 OppA 的 SBP_bac_5 保守结构域可以用来进行细菌分类地位和进化地位的分析。



3 结论

Opp 属于 ABC 输送系统家族成员。ABC 输送系统是细菌中最大的旁系同源蛋白质家族之一, 占据细菌 5% 的基因组, 控制着必需营养物质进出细胞^[23]。根据本实验室的前期工作, 从 *E. tarda* LSE40 fosmid 文库随机获取的 1 962 个末端序列, 与 ABC 输送系统相关的序列高达 8.09% (未发表资料), 由此可见 ABC 输送器对 *E. tarda* 有着重要的生物学功能。作为 ABC 家族的成员, 许多研究表明细菌的 Opp 具有多种生物功能^[3~7]。本研究得到的 *E. tarda opp* 基因簇, 为了解 *E. tarda* 在自然环境的生存机制以及与宿主的作用机制打下了基础。

参考文献:

- [1] Detmers F J M, Lanfermeijer F C, Poolman B. Peptides and ATP binding cassette peptide transporters [J]. *Res Microbiol*, 2001, **152**(3): 245 258.
- [2] Orchard S S, Goodrich Blair H. Identification and functional characterization of a *Xenorhabdus nematophila* oligopeptide permease [J]. *Appl Environ Microbiol*, 2004, **70**(9): 5 621~5 627.
- [3] Gominet M, Slamti L, Gilois N, et al. Oligopeptide permease is required for expression of the *Bacillus thuringiensis plcR* regulon and for virulence[J]. *Mol Microbiol*, 2001, **40**(4): 963~975.
- [4] Solomon J, Su L, Shyn S, et al. Isolation and characterization of Mutants of the *Bacillus subtilis* oligopeptide permease with altered specificity of oligopeptide transport[J]. *J Bacteriol*, 2003, **185**(21): 6 425~6 433.
- [5] Leonard B A, Podbielski A, Hedberg P J, et al. *Enterococcus faecalis* pheromone binding protein, PrgZ, recruits a chromosomal oligopeptide permease system to import sex pheromone cCF10 for induction of conjugation[J]. *Proc Natl Acad Sci US A*, 1996, **93**(1): 260~264.
- [6] Miller M B, Bassler B L. Quorum sensing in bacteria [J]. *Annu Rev Microbiol*, 2001, **55**(1): 165~199.
- [7] Cundell D R, Pearce B J, Sandros J, et al. Peptide permeases from *Streptococcus pneumoniae* affect adherence to eucaryotic cells[J]. *Infect Immun*, 1995, **63**(7): 2 493~2 498.
- [8] 王波, 莫照兰. 迟缓爱德华氏菌及其致病机理[A]. 中国科学院海洋研究所. 海洋科学集刊[C]. 北京: 科学出版社, 2007.48: 133~139.
- [9] 欧阳志明, 陈怀青, 陆承平. 迟缓爱德华氏菌的粘附特性[J]. 南京农业大学学报, 1997, **20**(3): 87~91.
- [10] Ling S H M, Wang X H, Xie L, et al., Use of green fluorescent protein (GFP) to study the invasion pathways of *Edwardsiella tarda* in vivo and in vitro fish models[J]. *Soc General Microbiol*, 2000, **146**: 7~19.
- [11] Chen J D, Huang S L. Hemolysin from *Edwardsiella tarda* strain ET16 isolated from eel *Anguilla japonica* 2 identified as a hole forming toxin[J]. *Fish Sci*, 1996, **62**: 538~542.
- [12] Srinivasa Rao P S, Yamada Y, Leung K Y, A major catalase (KatB) that is required for resistance to H₂O₂ and phagocyte mediated killing in *Edwardsiella tarda* [J]. *Soc General Microbiol*, 2003, **149**(9): 2 635~2 644.
- [13] Tan Y P, Zheng J, Tung S L, et al. Role of type III secretion in *Edwardsiella tarda* virulence[J]. *Microbiology*, 2005, **151**(7): 2 301~2 313.
- [14] Zheng J, Leung K Y. Dissection of a type VI secretion system in *Edwardsiella tarda* [J]. *Mol Microbiol*, 2007, **66**(5): 1 192~1 206.
- [15] 奥斯伯 F, 布伦特 R, 金斯顿 R E, 等. 精编分子生物学实验指南(中译版)[M], 颜子颖, 王海林, 译. 北京: 科学出版社, 1999. 39~39.
- [16] Lee E M, Ahn S H, Park J H, et al. Identification of oligopeptide permease (*opp*) gene cluster in *Vibrio fluvialis* and characterization of biofilm production by *oppA* knockout mutation[J]. *FEMS Microbiol Lett*, 2004, **240**(1): 21~30.
- [17] Borezee E, Pellegrini E, Berche P. OppA of *Listeria monocytogenes*, an oligopeptide binding protein required for bacterial growth at low temperature and involved in intracellular survival[J]. *Infect Immun*, 2000, **68**(12): 7 069.
- [18] Cho W J, Yoon W J, Moon C H, et al. Molecular cloning of a novel chaperone like protein induced by rhabdovirus infection with sequence similarity to the bacterial extracellular solute binding protein family 5[J]. *J Biol Chem*, 2002, **277**(44): 41 489~41 496.
- [19] Pearce S, Mimmack M L, Gallagher M P, et al. Membrane topology of the integral membrane components, OppB and OppC, the oligopeptide permease of *Salmonella typhimurium*[J]. *Mol Microbiol*, 1992, **6**(1): 47~57.
- [20] Podbielski A, Pohl B, Woischnik M, et al. Molecular characterization of group A streptococcal (GAS) oligopeptide permease (Opp) and its effect on cysteine protease production[J]. *Mol Microbiol*, 1996, **21**(5): 1 087~1 099.
- [21] Wang X G, Lin B, Kidder J M, et al. Effects of environmental changes on expression of the oligopeptide permease (*opp*) genes of *Borrelia burgdorferi*[J]. *J Bacteriol*, 2002, **184**(22): 6 198~6 206.
- [22] Diep B A, Gill S R, Chang R F, et al. Complete ge

nome sequence of USA300, an epidemic clone of community acquired meticillin resistant *Staphylococcus aureus* [J]. *Lancet*, 2006, 367(9512): 731-739.

[23] Higgins C F. ABC transporters: physiology, structure and mechanisms: an overview [J]. *Res Microbiol*, 2001, 152(3-4): 205-210.

Cloning the Oligopeptide Permease (*opp*) gene cluster from *Edwardsiella tarda* fosmid library

YANG Jia-yin^{1,2}, MO Zhao-lan¹, MAO Yun-xiang³, LI Jie³, YE Xu-hong³, WANG Bo^{1,2}

(1. Key Laboratory of Experimental Marine Biology, Institute of Oceanology, Chinese Academy of Sciences, Qingdao 266071, China; 2. Graduate University of Chinese Academy of Sciences, Beijing 100039, China; 3. College of Marine Life Sciences, Ocean University of China, Qingdao 266003, China)

Received: Mar., 20, 2008

Key words: *Edwardsiella tarda*; fosmid library; *opp* gene cluster

Abstract: The Oligopeptide Permease (*opp*) gene cluster was cloned from fosmid library of *Edwardsiella tarda* LSE40. The obtained *opp* gene cluster spanned 6 741 bp which contains five ORFs encoding five putative proteins, OppA, OppB, OppC, OppD and OppF, respectively. A putative transcriptional start site locates 385 bp upstream from the *oppA* start codon, and there are TATATT and TAGACA sequences at positions -10 and -35 from the transcriptional start site, respectively. Two potential stem-loop structures located in the spacer region between *oppA* and *oppB*, and at downstream of *oppF*, are presumed as the terminators of *oppA* and *opp*, respectively. Opp of *E. tarda* showed 96%~98% identities with *E. ictaluri*, 56%~89% identities with other gram negative bacteria and 27%~53% identities with gram positive bacteria. Phylogenetic tree was constructed based on the OppA conserved domain SBP_bac_5. The results showed that *E. tarda* LSE40 is most closely related to *E. ictaluri*, closely related to other Enterobacteriaceae bacteria, and less related to gram positive bacteria, suggesting domain SBP_bac_5 of OppA can be used as a molecular marker in the bacterial identification. The obtained *opp* lays the foundation for studying the survival mechanisms that how *E. tarda* adapts to the environment and the host.

(本文编辑:张培新)